

УДК 539.192/194 : 541.6 : 546.883

## ВЛИЯНИЕ БЛИЖНЕГО ПОРЯДКА НА ЭНЕРГЕТИЧЕСКИЙ СПЕКТР ЭЛЕКТРОНОВ В ОКСИДЕ ТАНТАЛА

А. Л. Губский, С. Д. Ханин

Методом ССП  $X_{\alpha}$ -РВ в рамках кластерной модели  $Ta_6O_{12}^{6+}$  проведены расчеты электронного строения аморфного и кристаллического оксидов тантала. Предложен метод определения оптимальной геометрии кластера по данным о ближнем порядке моделируемого соединения. Увеличение ширины запрещенной щели в аморфном оксиде связывается с различиями ближнего порядка в кристаллическом и аморфном оксидах.

Широкое применение оксида тантала в диэлектрических приборах вызвало интерес к электронному строению (ЭС) этого материала, в значительной степени определяющему его электрофизические свойства [1-5]. Полученные экспериментальные результаты показывают, что энергетический спектр электронов в оксиде тантала тесно взаимосвязан с ближним порядком (БП) в атомной структуре, а последний в свою очередь зависит от условий получения и эксплуатации образцов [6, 7].

Первая попытка определения корреляций между ЭС и БП в оксиде  $Ta_2O_5$  предпринята в [8], где в рамках метода кластерного моделирования получены зависимости ЭС кластеров  $Ta_n^{5-2n}$  от координационного числа (КЧ)  $n_{Ta}$  и симметрии ближайшего окружения атома Та. Для анализа ЭС оксида  $Ta_2O_5$  предложен кластер  $Ta_6O_{12}^{6+}$  симметрии  $O_h$ . В этом кластере КЧ атомов Та и О равны 4 и 2 соответственно, а геометрия расположения атомов полностью определяется двумя параметрами БП: межатомным расстоянием  $R_{Ta-O}$  и отношением  $\beta = R_{Ta-Ta}/R_{O-O}$ .

Экстраполяция полученных в [8] результатов на твердое тело дает основание отнести оксид  $Ta_2O_5$  к классу ионно-ковалентных соединений. Ионная составляющая химической связи обусловлена некоторым смещением электронной плотности в направлении  $Ta \rightarrow O$ , что подтверждается наличием положительного химсдвига оставного  $4f$ -уровня Та в рентгеновскоэлектронных спектрах оксида  $Ta_2O_5$  [5, 9]. Структура валентной полосы и полосы проводимости определяется ковалентным взаимодействием  $Ta5d$ - и  $O2p$ -атомных орбиталей (АО) соседних атомов. Запрещенная щель расположена между несвязывающими  $Ta5d$ -АО (дно полосы проводимости) и  $O2p$ -АО (потолок валентной полосы),  $\epsilon_g = \epsilon_d - \epsilon_p$ . Такая структура энергетического спектра валентных электронов пятиокиси тантала находится в качественном согласии с феноменологической схемой ЭС Гудинафа [10], зонными расчетами ЭС ряда оксидов переходных металлов [11], моделью Ребане для ЭС альтернативных соединений [12], а также наблюдается в рентгеновскоэлектронных спектрах валентных электронов оксида  $Ta_2O_5$  [1, 5].

Вместе с тем определенные из расчетов кластера  $Ta_6O_{12}^{6+}$  значения ширины валентной и запрещенной  $\epsilon_g$  полос оказались почти в два раза меньше экспериментальных для аморфного оксида  $Ta_2O_5$  [1]. Однако корректное описание величины  $\epsilon_g$  в расчетах весьма важно при моделировании ЭС реального оксида, так как наиболее существенные, с практической точки

зрения, явления электропереноса, оптического поглощения и фотопроводимости связаны с электронными состояниями, локализованными в запрещенной щели оксида [2-5].

В соответствии с принципом Иоффе—Регеля следует ожидать, что отмеченное выше количественное отличие ЭС связано прежде всего с различиями БП для атомов в кластере и оксида, наиболее существенными из которых являются меньшие значения КЧ атомов Та и О в кластере  $Ta_6O_{12}^{6+}$  (табл. 1). Рассмотрим в связи с этим качественные зависимости матричных элементов эффективного одночастичного гамильтонiana кластера [8] от КЧ  $n_{Ta}$  и  $n_O$ .

В соответствии с соотношениями

$$\epsilon_d = \epsilon_d^a - \alpha_d(n_{Ta})/R_{Ta-O}, \quad \epsilon_p = \epsilon_p^a + \alpha_p(n_O)/R_{Ta-O}, \quad (1)$$

которые определяют значения  $\epsilon_d$ ,  $\epsilon_p$  диагональных матричных элементов в электростатическом поле окружения, где  $\alpha_d(n_{Ta})$ ,  $\alpha_p(n_O)$  — возрастающие функции КЧ (аналог констант Маделунга в твердых телах), а  $\epsilon_d^a$ ,

$\epsilon_p^a$  — соответствующие атомные энергии, с уменьшением КЧ  $n_{Ta}$  и  $n_O$  уменьшается и разность  $\epsilon_g = \epsilon_d - \epsilon_p$ . Отметим, что близкое к экспериментальному значение  $\epsilon_g$  в оксиде PdO удалось получить в кластере  $Pd_6O_8^{4-}$ , в котором КЧ как Pd, так и O близки к реальным [13].

Таблица 1  
Параметры ближнего порядка аморфного и кристаллического оксидов  $Ta_2O_5$

$Ta_2O_5$	$R_{Ta-O}$ , Å	$n_{Ta}$	$n_O$	$\tilde{R}_{Ta-O}$ , Å
Аморфный	1.97	7.5	3.0	1.71
Кристаллический	2.12	6.5	2.6	1.93

Другим результатом неполной координации атомов Та и О в кластере  $Ta_6O_{12}^{6+}$  будут меньшие по сравнению с оксидом  $Ta_2O_5$  значения недиагональных матричных элементов  $V_{pd}^\tau$  [8], описывающих ковалентное взаимодействие  $Ta5d$ - и  $O2p$ -АО соседних атомов и определяющих ширину валентной полосы и полосы проводимости. Зависимость  $V_{pd}^\tau$  ( $\tau$  — номер неприводимого представления группы симметрии кластера) от КЧ  $n_{Ta}$ ,  $n_O$  и расстояния  $R_{Ta-O}$  имеет весьма сложный вид и определяется взаимной ориентацией  $Ta5d$ - и  $O2p$ -АО соседних атомов в  $\tau$ -представлении. Однако для качественных рассуждений можно воспользоваться формулой, справедливой в случае взаимодействия  $s$ -функций на каждом атоме

$$V_{pd}^\tau \sim \sqrt{n_{Ta} n_O} (pd\tau) = \sqrt{n_{Ta} n_O} A_\tau \exp[-x_\tau R_{Ta-O}], \quad (2)$$

где  $(pd\tau)$  — двухцентровый молекулярный интеграл (интеграл пересека);  $A_\tau$ ,  $x_\tau$  — параметры, определяющие его зависимость от расстояния  $R_{Ta-O}$ .

Из формул (1), (2) сразу же следует, что отличия матричных элементов гамильтониана кластера и оксида, связанные с неполной координацией атомов Та и О в кластере, можно эффективно уменьшить путем перенормировки длины связи  $R_{Ta-O}$ . Из условия равенства величин  $V_{pd}^\tau$  в кластере и соединении получим

$$\tilde{R}_{Ta-O} = R_{Ta-O} - \frac{1}{2x_\tau} \ln \frac{n_{Ta} n_O}{\tilde{n}_{Ta} \tilde{n}_O}, \quad (3)$$

где величины с волной относятся к кластеру. К сожалению, аналогичная оценка  $\tilde{R}_{Ta-O}$  по формуле (1) затруднительна в силу неопределенности функций  $\alpha_d$  и  $\alpha_p$  в аморфных структурах, однако тенденция в изменении  $R_{Ta-O}$  будет та же.

Предложенный метод выбора параметра  $\tilde{R}_{Ta-O}$  в кластерах использован в настоящей работе для определения ЭС как аморфной, так и кристаллической фаз оксида  $Ta_2O_5$ . Необходимые для расчетов параметры БП в аморфной [7] и кристаллической [14] пятиокиси тантала сведены в табл. 1.

Таблица 2

Энергии МО, числа заполнения и парциальные заряды (в %)  
в атомных сферах кластера  $Ta_6O_{12}^{6+}$

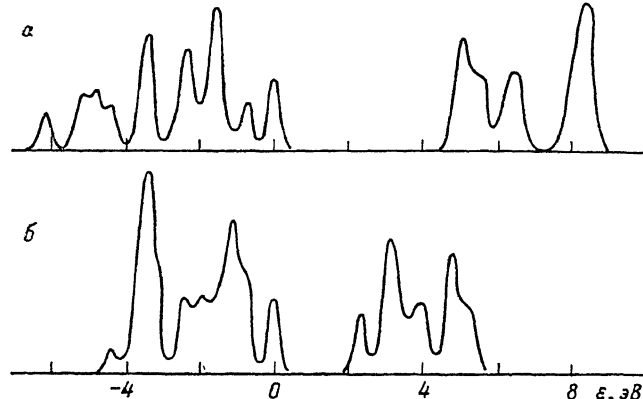
МО $O_h$	$\epsilon$ , эВ	n	Сфера О		Сфера Та		
			$l=0$	$l=1$	$l=0$	$l=1$	$l=2$
$5t_{2u}$	13.41	0	4.8	20.0		1.0	54.8
$5e_g$	11.96	0	6.8	10.0	2.6	0.1	51.4
$4a_{1g}$	11.54	0	10.8	1.0	1.0	0.4	0.1
$5t_{2g}$	8.47	0	2.3	24.8		3.6	60.8
$4t_{2u}$	8.32	0	2.2	24.4		3.4	68.8
$6t_{1u}$	8.04	0	0.6	25.2	0.5	3.7	48.7
$2b_{2u}$	6.59	0		22.2			57.5
$3t_{1g}$	6.50	0		14.6		4.6	47.8
$4e_g$	6.18	0	2.0	5.0	1.7	0.2	69.2
$3a_{1g}$	5.54	0	0.7	7.8	0.0	0.0	65.5
$4t_{2g}$	5.51	0	0.4	11.9		0.1	58.6
$5t_{1u}$	5.08	0	0.6	4.6	1.7	0.7	80.0
$2e_u$	5.03	0		19.7			55.0
$2t_{1g}$	0.0	6		62.8		1.9	9.8
$3e_g$	-0.75	4	0.1	66.7	1.2	1.1	0.7
$4t_{1u}$	-1.44	6	0.5	55.3	2.9	3.1	7.9
$1t_{1g}$	-1.56	6		53.6		3.3	13.6
$3t_{1u}$	-1.76	6	1.1	57.2	0.0	0.2	2.8
$3t_{2u}$	-2.30	6	0.1	55.2		0.0	12.6
$1e_u$	-2.38	4		46.1			13.7
$2a_{1g}$	-2.72	2	0.0	52.1	1.2	2.9	4.0
$3t_{2g}$	-3.40	6	0.0	47.2		0.0	15.8
$2t_{2u}$	-3.51	6	1.7	45.2		3.5	25.9
$2e_g$	-4.37	4	0.2	44.4	2.8	0.3	22.0
$2t_{1u}$	-4.80	6	0.1	40.9	0.0	1.9	16.3
$2t_{2g}$	-5.20	6	1.6	43.9		0.2	11.0
$1b_{2g}$	-6.09	2		44.3			30.6
$1b_{2u}$	-6.18	2		39.7			11.4
$1t_{2g}$	-15.26	6	60.0	0.2		10.7	3.5
$1t_{1u}$	-16.20	6	59.2	0.4	1.9	7.2	2.3
$1t_{2u}$	-16.30	6	62.3	0.8		4.3	6.8
$1a_{1g}$	-17.0	2	59.9	0.1	3.5	3.6	1.4
$1e_g$	-17.05	4	64.6	0.1	0.8	0.8	6.9
Электронный заряд в сфере (в ед. $e$ )			1.25	3.06	0.09	0.40	1.73

Здесь же даны значения  $R_{Ta-O}$ , вычисленные по формуле (3). Параметры  $A_o$  и  $x_o$  определены из независимых кластерных расчетов с вариацией  $R_{Ta-O}$  методом наименьших квадратов и равны 154.0 эВ и  $1.976 \text{ \AA}^{-1}$  соответственно. Расчеты ЭС кластеров проведены методом самосогласованного поля  $X_\alpha$ -рассеянных волн (подробнее см. [15]). Этот метод интенсивно используется в практике расчетов ЭС молекул, комплексов, кластеров твердых тел, удачно сочетая быстродействие и высокую точность получаемых результатов, сопоставимую с точностью неэмпирических методов МО ЛКАО [15, 16]. В центр кластера  $Ta_6O_{12}^{6+}$  помещалась пустая сфера с большим положительным потенциалом для исключения влияния на ЭС размерных МО, локализованных между атомными сферами и внешней сферой Батсона. Отношение радиусов атомных сфер Та и О принято равным 1.6. Остальные детали вычислений подробно описаны в [8].

Рассмотрим результаты расчетов ЭС кластера  $Ta_6O_{12}^{6+}$  с параметрами, соответствующими БП аморфного оксида тантала [6, 7], которые сумми-

рованы в табл. 2. МО классифицируются по неприводимым представлениям группы  $O_h$ . За нуль отсчета энергии принято положение последней заполненной МО. В нижней строке таблицы приведены суммарные парциальные заряды в одной атомной сфере О и Та. Отметим, что как заполненные, так и вакантные МО сосредоточены внутри внешней сферы: электронный заряд в центральной сфере и за сферой Ватсона не превышает 3 %.

В соответствии с результатами [8] получена следующая структура энергетического спектра электронов в кластере  $Ta_6O_{12}^{6+}$  (см. также рисунок, а). Нижние по энергии МО образованы из  $O2s$ -АО и локализованы ниже валентной полосы на 9 эВ в энергетическом интервале шириной ~1.8 эВ. МО валентной полосы и полосы проводимости составлены преимущественно из  $O2p$ - и  $Ta5d$ -АО, а вклад  $Ta6s$ - и  $b6p$ -АО весьма незначителен. В верхней части валентной полосы можно выделить несвязываю-



Полная плотность электронных состояний кластеров  $Ta_6O_{12}^{6+}$ , соответствующих аморфному (а) и кристаллическому (б) оксидам тантала.

щую  $O2p$ -МО  $3e_g$ , тогда как дно и середину ее образуют связывающие МО  $\sigma$ - и  $\pi$ -типов, различающиеся взаимной ориентацией  $5d$ - и  $2p$ -функций соседних атомов Та и О. Вблизи дна полосы проводимости находится несвязывающая МО  $5t_{1u}$ , а выше по энергии расположены разрыхляющие МО  $\pi$ - и  $\sigma$ -типов. Запрещенная щель образуется между МО  $2e_u$  (дно полосы проводимости) и  $2t_{1g}$  (потолок валентной полосы), которые имеют существенные вклады как  $Ta5d$ -, так и  $O2p$ -АО, тогда как, по данным [8, 12], запрещенная щель находится между несвязывающими МО. Причина таких изменений в ЭС заключается в том, что сжатие кластера приводит к уменьшению расстояния  $R_{O-O}$  от 2.59 Å в [8] до 2.25 Å в настоящей работе и, как следствие, к возрастанию величины двухцентрового молекулярного интеграла ( $pp\sigma$ ) между  $O2p$ -АО. Заметим, что оценки величины  $V_{pp}^{\tau}$  по формуле (2) с учетом определенной в [8] зависимости интеграла ( $pp\sigma$ ) от расстояния  $R_{O-O}$ , полученные для кластера  $Ta_6O_{12}^{6+}$  и аморфного оксида  $Ta_2O_5$  ( $n_{O-O}=8$ ), оказались близкими. Разброс энергий  $\epsilon^{\tau}$   $O2p$ -АО в разных  $\tau$ -представлениях групп симметрии кластера, пропорциональный  $V_{pp}^{\tau}$ , достигает величины  $2(pp\sigma) \approx 2.2$  эВ. Таким образом, наряду с определяющим ЭС оксида взаимодействием  $Ta5d$ - и  $O2p$ -АО заметный (особенно вблизи краев зон) вклад вносит и взаимодействие  $O2p$ -АО между собой.

Запрещенная щель в кластере  $Ta_6O_{12}^{6+}$  расположена между МО  $2e_u$  и  $2t_{1g}$  и равна 5.0 эВ (2.35 эВ в [8]), что сопоставимо с экспериментальной величиной 4.6 эВ в аморфном оксиде  $Ta_2O_5$  [1]. В соответствии с (2) возросла также и ширина валентной полосы от 4.1 до 6.2 эВ. Предлагаемый метод учета неполной координации атомов в кластере по сравнению с моделируемым соединением позволили более корректно передать эти важные характеристики ЭС аморфного оксида  $Ta_2O_5$ .

Для сравнения ЭС аморфного и кристаллического оксидов  $Ta_2O_5$  мы провели также расчет энергетического спектра электронов кластера  $Ta_6O_{12}^{6+}$ , параметры  $R_{Ta-O}$  и  $\beta$  которого соответствуют БП кристалла [14]. На рисунке показаны полные плотности электронных состояний в аморфной (а) и кристаллической (б) фазах  $Ta_2O_5$ , полученные размытием энергии каждойМО на гауссову кривую с  $\Gamma=0.25$  эВ. За нуль отсчета принято положение последнего заполненного состояния. Качественная структура энергетического спектра кристалла осталась, как и следовало ожидать, прежней. Запрещенная щель расположена между несвязывающими МО  $2t_{1g}$  и  $5t_{1u}$  и равна 2.3 эВ, что существенно меньше экспериментальной величины 3.6 эВ [17, 18]. Такое расхождение расчетных и экспериментальных значений  $\epsilon_g$  связано, на наш взгляд, с неточностью определения длины связи  $R_{Ta-O}$  в [14]. Действительно, в этой работе оксид  $\beta\text{-}Ta_2O_5$  рассматривается как структура вычитания, получающаяся из состава  $M_2O_6$  путем удаления одного атома О из элементарной ячейки. В связи с отсутствием точных данных о положении атомов О в кристалле  $\beta\text{-}Ta_2O_5$  [6, 7] для определения расстояний  $R_{Ta-O}$  и  $R_{O-O}$  использовались координаты атомов О в элементарной ячейке  $M_2O_6$  в модели Захариазена, причем релаксация структуры на создание вакансии не учитывалась. Для количественного сравнения расчетных и экспериментальных величин  $\epsilon_g$  необходимы более точные данные о БП в кристалле  $Ta_2O_5$ .

Выполненные расчеты показывают, что значение  $\epsilon_g$  возрастает при переходе от кристаллического к аморфному оксиду  $Ta_2O_5$ . Этот неожиданный с позиций сложившихся представлений результат находит свое объяснение при анализе изменений в БП, имеющих место при аморфизации. Из табл. 1 следует, что при этом уменьшается средняя длина связи  $R_{Ta-O}$  (этот факт отмечается и в [6, 7]) и увеличиваются КЧ как Та, так и О. Согласно (1), (2), такие изменения БП приводят к росту ширин валентной полосы и запрещенной щели  $\epsilon_g$ . Последнее коррелирует с экспериментально наблюдаемым уменьшением электронной проводимости при аморфизации оксида  $Ta_2O_5$  [19].

В заключение отметим, что установленные в [8] и в настоящей работе качественные зависимости ЭС от длины связи  $R_{M-O}$  и координационных чисел  $n_M$  и  $n_O$  могут быть использованы для оценки изменений ЭС в оксидах переходных металлов при вариации БП. Предлагаемый метод определения параметров кластера по данным о БП моделируемого соединения позволяет получить более точное соответствие между матричными элементами эффективного гамильтонiana и, следовательно, ЭС кластера и твердого тела. Полученная, согласно (3), длина связи  $R_{M-O}$  соответствует наименьшему в рамках данной кластерной модели «расстоянию» между точками в пространстве параметров БП, соответствующими кластеру и соединению.

#### Л и т е р а т у р а

- [1] Костров Д. В. // Автореф. канд. дис. Л., 1979. 22 с.
- [2] Брыксин В. В., Дьяконов М. Н., Ханин С. Д. // ФТТ. 1980. Т. 22. № 5. С. 1403—1410.
- [3] Брыксин В. В., Дьяконов М. Н., Муждаба В. М., Ханин С. Д. // ФТТ. 1981. Т. 23. № 5. С. 1516—1518.
- [4] Моргунов М. С., Муждаба В. М., Таиров В. Н. и др. // ФТТ. 1983. Т. 25. № 11. С. 3431—3436.
- [5] Костиков Ю. П., Костров Д. В., Томиленко Г. Ф., Ханин С. Д. // ЖТФ. 1983. Т. 53. № 11. С. 2189—2196.
- [6] Алешина Л. А. // Автореф. канд. дис. М., 1983. 18 с.
- [7] Aleshina L. A., Malinenko V. P., Phoughanov A. D., Jakovleva N. M. // J. Non-Cryst. Solids. 1987. V. 87. P. 350—360.
- [8] Губский А. Л., Ковтун А. П., Ханин С. Д. // ФТТ. 1987. Т. 29. № 4. С. 1067—1075.
- [9] Нефедов В. И. Рентгеноэлектронная спектроскопия химических соединений. Справочник. М., 1984. 256 с.
- [10] Goodenough J. B. // Metallic oxides. Progr. Sol. St. Chem. 1975. V. 5. P. 145—399.
- [11] Mattheiss L. F. // Phys. Rev. 1972. V. 6. N 12. P. 4718—4740.
- [12] Ребане Т. К. // ФТТ. 1986. Т. 28. № 5. С. 1368—1374.

- [13] Гагарин С. Г., Тетерин Ю. А., Ковтун А. П., Губский А. Л. // Ж. неорг. химии. 1983. Т. 28. № 11. С. 2750—2755.
- [14] Calvert L. D., Draper P. H. J. // Can. J. Chem. 1962. V. 40. N 6. P. 1943—1950.
- [15] Слетеर Дж. Методы самосогласованного поля для молекул и твердых тел. М., 1978. 662 с.
- [16] Губанов В. А., Курмаев Э. З., Ивановский А. Л. Квантовая химия твердого тела. М., 1984. 304 с.
- [17] Кофстад П. Отклонение от стехиометрии, диффузия и электропроводность в простых окислах металлов. М., 1975. 396 с.
- [18] Данилюк Ю. Л., Костров Д. В., Муждаба В. М. и др. // ФТТ. 1981. Т. 23. № 11. С. 3504—3506.
- [19] Дьяконов М. Н., Муждаба В. М., Хания С. Д. // Обзоры по электронной технике, сер. 5. Радиодетали и радиокомпоненты. 1982. В. 3 (866).

Ростовский-на-Дону  
государственный университет  
НИИФ  
Ростов-на-Дону

Поступило в Редакцию  
12 мая 1988 г.  
В окончательной редакции  
7 сентября 1988 г.

---